

УДК: 546.824+543.429.23

**ЯМР И DFT ИССЛЕДОВАНИЕ ХИМИЧЕСКОЙ СВЯЗИ ТИТАНИЛ-ИОНА
В ПЕНТАФТОРКОМПЛЕКСАХ $(\text{NH}_4)_3\text{TiOF}_5$ И $\text{Rb}_2\text{KTiOF}_5$**

© 2010 В.Я. Кавун^{1*}, С.Г. Козлова², И.А. Ткаченко¹, С.П. Габуда²

¹Учреждение Российской академии наук Институт химии ДВО РАН, Владивосток

²Учреждение Российской академии наук Институт неорганической химии им. А.В. Николаева СО РАН, Новосибирск

Статья поступила 27 марта 2009 г.

С доработки — 15 сентября 2009 г.

Методами ЯМР ^{19}F и теории функционала плотности DFT изучено электронное строение и химическая связь ионов титанила в пентафторитатанильных комплексах $(\text{NH}_4)_3\text{TiOF}_5$ и $\text{Rb}_2\text{KTiOF}_5$. Показано, что экспериментальные значения анизотропии химических сдвигов ЯМР ^{19}F согласуются с рассчитанными параметрами в рамках теории DFT. При нормальных температурах имеет место ориентационная разупорядоченность октаэдрических анионов $[\text{TiOF}_5]^{3-}$, причем атомы фтора устойчиво занимают *цикло*- и *транс*-положения по отношению к иону O^{2-} . *транс*-Положение в обоих комплексах заселяется не полностью, отношение заселенностей не превышает ~4:0,9. Установлено, что при понижении температуры до 150 К порядок величины анизотропии ХС резонансной линии *транс*-положения атомов фтора меньше величины диполь-дипольного уширения, тогда как линия от ядер фтора в *цикло*-положениях трансформируется в асимметричную широкую линию, характеризуемую трехосной анизотропией тензора химического сдвига. Показано, что найденная анизотропия соответствует нарушению осесимметричности связей $\text{Ti}-\text{F}_{\text{цикло}}$, обусловленному сильной делокализацией электронной плотности связей $\text{Ti}-\text{O}$ иона титанила.

Ключевые слова: ион титанила, комплексные оксофториды титана, спектры ЯМР ^{19}F , анизотропия химического сдвига, ионная подвижность, строение аниона.

ВВЕДЕНИЕ

Характерной чертой nd -элементов является образование прочных кислородсодержащих катионов (титанила, ванадила, хромила и т.д.). К числу наиболее изученных соединений подобного типа относятся кристаллы семейства титанил-фосфата калия KTiOPO_4 . Для них характерна высокая ионная электропроводность, нелинейно-оптические свойства, сегнетоэлектрические фазовые переходы. Титанил-фосфат калия находит применение в качестве активной среды для удвоения частоты излучения лазера на неодим-иттриевом гранате. При этом излучение с длиной волны 1064 нм преобразуется в видимое излучение с длиной волны 532 нм. В аналогичных условиях кристаллы кварца по эффективности уступают кристаллам KTiOPO_4 примерно в 400 раз [1—3].

Основу структуры кристаллов KTiOPO_4 составляет каркас из октаэдров $[\text{TiO}_6]$ с ацентричными положениями атомов Ti. Наиболее короткая связь $\text{Ti}-\text{O}$ с расстоянием $d(\text{Ti}-\text{O})$ 1,716 Å относится к собственно иону титанила $[\text{TiO}]^{2+}$, тогда как остальные связи с $d(\text{Ti}-\text{O})$ 1,985—2,099 Å относятся к контактам Ti^{4+} с атомами кислорода анионов $[\text{PO}_4]^{3-}$ [1—3]. Ацентричные расположения ионов титана в октаэдрическом окружении являются структурной особенностью пентафторитатанильных анионов $[\text{TiOF}_5]^{3-}$ [4, 5], что позволяет рассматривать соединения пен-

* E-mail: kavun@ich.dvo.ru

тафтортитанила в качестве удобной модели для исследования химических связей титанил-иона. Было отмечено, что титанилфториды могут быть перспективными в качестве различных функциональных материалов [6]. В частности, в пентафтортитаниле калия K_3TiOF_5 при 490 К обнаружен фазовый переход из кубической (неполярной) фазы в сегнетоэлектрическую и сегнетоэластическую фазу [7]. По данным поляризационной микроскопии пентафтортитанила аммония $(NH_4)_3TiOF_5$, его низкотемпературная модификация также является, по крайней мере, сегнетоэластической [8].

Предполагается, что решающей причиной образования ионов титанила является наличие свободных $3d$ -орбиталей у ионов Ti^{4+} , за счет которых возможно образование дополнительных донорно-акцепторных π -связей $Ti \leftarrow O$ при участии неподеленных электронных пар кислорода [9]. Подобное предположение до сих пор не было подтверждено. В данной работе описано ЯМР ^{19}F и квантово-химическое исследование химических связей ионов титанила в пентафтортитанилах аммония и щелочных металлов.

1. СТРУКТУРА КРИСТАЛЛОВ $(NH_4)_3TiOF_5$ И Rb_2KTiOF_5

Кристаллическая структура пентафтортитанила аммония $(NH_4)_3TiOF_5$ при температуре выше $T_c = 264,7 \pm 0,1$ К относится к типу эльпасолита (кубическая сингония, пр. гр. $Fm\bar{3}m$; $a = 9,113 \text{ \AA}$; $Z = 4$) [10]. Полярные анионы $[TiOF_5]^{3-}$ располагаются в четырехкратных позициях (*a*) с координатами 000. Катионы $[NH_4]^+$ располагаются в позициях двух типов: четырехкратной (*b*) с координатами $(1/2, 1/2, 1/2)$, и восьмикратной (*c*) с координатами $(1/4, 1/4, 1/4)$. По данным рентгеноструктурного исследования структуры $(NH_4)_3TiOF_5$ [10] лиганды O^{2-} и F^- неразличимы и разупорядочены по смешанным позициям $24e+96j$ элементарной ячейки эльпасолита. Ориентационное разупорядочение анионов $[TiOF_5]^{3-}$ ведет к нивелированию полярных свойств высокотемпературной фазы $(NH_4)_3TiOF_5$.

При понижении температуры до критической ($264,7 \pm 0,1$ К) в структуре $(NH_4)_3TiOF_5$ наблюдается фазовый переход первого рода с изменением симметрии от кубической до тетрагональной и с возникновением полярных свойств кристалла [8]. При этом параметры элементарной ячейки остаются близкими к параметрам исходной кубической решетки. По данным ЯМР ^{19}F и 1H , переход в низкотемпературную фазу $(NH_4)_3TiOF_5$ сопровождается упорядочением ориентации связей $Ti-O$ параллельно осям C_4 тетрагональной структуры. При этом сохраняется реориентационная подвижность комплексных анионов $[TiOF_5]^{3-}$ вокруг осей C_4 , а также ориентационная разупорядоченность тетраэдрических катионов $[NH_4]^+$, расположенных в октаэдрическом окружении в четырехкратных позициях (*b*) кубической ячейки.

В $(NH_4)_3TiOF_5$ наблюдается еще один фазовый переход при $T \approx 205$ К (предположительно второго рода), сопровождающийся торможением анизотропной реориентации комплексных ионов $[TiOF_5]^{3-}$. По данным рентгеноструктурного анализа [11, 12], в низкотемпературной фазе $(NH_4)_3TiOF_5$ центральный ион Ti^{4+} смещен из центра симметрии по направлению к иону O^{2-} на $0,217 \text{ \AA}$. Параметры геометрии комплексного аниона $[TiOF_5]^{3-}$ приведены в табл. 1. Там же приведены результаты теоретического расчета геометрии свободных анионов $[TiOF_5]^{3-}$ и $[TiOF_4]^{2-}$, проводившегося в рамках теории функционала плотности (DFT) [13] с использованием программного комплекса ADF-2008 [14]. В данной работе был использован модельный гамильтониан функционала плотности, представленный суммой функционала локальной плотно-

Таблица 1

Экспериментальные и расчетные параметры геометрии комплексных ионов $[TiOF_5]^{3-}$

Соединение	$d(Ti-O)$, Å	$d(Ti-F_{uuc}(\times 4))$, Å	$d(Ti-F_{mpac})$, Å	$\angle(O-Ti-F_{uuc})$, град.
$(NH_4)_3TiOF_5$ (эксп.)	1,636(5)	1,899(5)	2,069(5)	95
$[TiOF_5]^{3-}$ (расчет)	1,71355	2,0094	2,255	95,4
$[TiOF_4]^{2-}$ (расчет)	1,68465	1,950	—	106,43

Т а б л и ц а 2

Экспериментальные и расчетные параметры главных компонент тензоров химических сдвигов ЯМР ядер ^{19}F в цис-положениях в комплексных анионах $[\text{TiOF}_5]^{3-}$, м.д.

Соединение	$\delta_{11}([\text{F}]^-)$	$\delta_{22}([\text{F}]^-)$	$\delta_{33}([\text{F}]^-)$	$\delta_{iso}([\text{F}]^-)$
$\text{Rb}_2\text{KTiOF}_5$ ($4\text{F}_{\text{цис}}$, эксп.)	380 ± 15	205 ± 20	120 ± 20	241 ± 3
$(\text{NH}_4)_3\text{TiOF}_5$ ($4\text{F}_{\text{цис}}$, эксп.)	410 ± 15	240 ± 20	120 ± 20	260 ± 3
$[\text{TiOF}_5]^{3-}$ ($4\text{F}_{\text{цис}}$, расчет)	423	170	121	239

Т а б л и ц а 3

Экспериментальные и расчетные параметры главных компонент тензоров химических сдвигов ЯМР ядер ^{19}F в транс-положениях в комплексных анионах $[\text{TiOF}_5]^{3-}$, м.д.

Соединение	$\delta_{11}([\text{F}]^-)$	$\delta_{22}([\text{F}]^-)$	$\delta_{33}([\text{F}]^-)$	$\delta_{iso}([\text{F}]^-)$
$\text{Rb}_2\text{KTiOF}_5$ ($\text{F}_{\text{транс}}$, эксп.)	160 ± 15	160 ± 20	160 ± 20	161 ± 3
$(\text{NH}_4)_3\text{TiOF}_5$ ($\text{F}_{\text{транс}}$, эксп.)	180 ± 15	180 ± 20	180 ± 20	181 ± 3
$[\text{TiOF}_5]^{3-}$ ($\text{F}_{\text{транс}}$, расчет)	90	90	0	60

Т а б л и ц а 4

Экспериментальные и расчетные параметры главных компонент тензоров химических сдвигов ЯМР ^{19}F комплексных ионов $[\text{TiF}_6]^{2-}$ в гексафтоританатах щелочных металлов и аммония, м.д.

Соединение	$\delta_{11}([\text{F}]^-)$	$\delta_{22}([\text{F}]^-)$	$\delta_{33}([\text{F}]^-)$	$\delta_{iso}([\text{F}]^-)$
K_2TiF_6	485 ± 15	485 ± 15	163 ± 15	378 ± 25
Rb_2TiF_6	480 ± 15	480 ± 15	163 ± 15	378 ± 25
Cs_2TiF_6	490 ± 15	490 ± 15	168 ± 15	383 ± 25
$(\text{NH}_4)_2\text{TiF}_6$	490 ± 20	490 ± 20	144 ± 15	374 ± 25
$[\text{TiF}_6]^{2-}$ (расчет)	539,5	539,5	138	405

сти LDA [15] и градиентного обменного функционала GGA [16, 17]. В качестве базисных волновых функций использовался triple- ζ слэтеровский тип орбиталей (STO) без core-потенциала (TZP/ADF2008) [13]. Для оптимизированных структур анионов $[\text{TiOF}_5]^{3-}$ и $[\text{TiOF}_4]^{2-}$ были также рассчитаны главные значения компонент тензоров химических сдвигов ЯМР ^{19}F при использовании метода GIAO-DFT [18—20]. Результаты проводившихся расчетов приведены в табл. 2—4 в сопоставлении с экспериментальными данными ЯМР ^{19}F .

Можно отметить качественное согласие рассчитанных и экспериментальных параметров геометрии комплекса, а сокращение экспериментальных значений параметров структуры может быть отнесено на счет влияния ориентационных колебаний анионов $[\text{TiOF}_5]^{3-}$ и кулоновского сжатия в кристаллической решетке. По данным ЯМР, изотропная реориентация анионов $[\text{TiOF}_5]^{3-}$ наблюдается также и в пентафтоританиле рубидия—калия $\text{Rb}_2\text{KTiOF}_5$, кристаллическая структура при нормальных температурах также относится к типу эльпасолита (кубическая сингония, пространственная группа $Fm\bar{3}m$, $a = 9,113 \text{ \AA}$, $Z = 4$) [11]. Однако, в отличие от $(\text{NH}_4)_3\text{TiOF}_5$, для комплекса $\text{Rb}_2\text{KTiOF}_5$ при понижении температуры не была обнаружена фаза с анизотропной реориентацией анионов $[\text{TiOF}_5]^{3-}$ вокруг титанильных связей Ti—O, а ориентационное упорядочение анионов $[\text{TiOF}_5]^{3-}$ происходит вблизи $T \approx 195 \text{ K}$. Обнаруженное отличие фазовых диаграмм $(\text{NH}_4)_3\text{TiOF}_5$ и $\text{Rb}_2\text{KTiOF}_5$ может быть обусловлено влиянием водородных связей и процессов упорядочения-разупорядочения тетраэдрических ионов $[\text{NH}_4]^+$ в октаэдрическом окружении в позициях (b) кубической ячейки $(\text{NH}_4)_3\text{TiOF}_5$.

2. ЭКСПЕРИМЕНТАЛЬНАЯ ЧАСТЬ

Пентафтоританил аммония $(\text{NH}_4)_3\text{TiOF}_5$ был синтезирован в виде хорошо ограненных октаэдрических монокристаллов в результате аммиачного гидролиза горячего водного раствора $(\text{NH}_4)_2\text{TiF}_6$ при избытке NH_4F по методике [21]. Полученное соединение служило прекурсором для получения рубидиевого комплекса согласно реакции:



Смесь исходных компонентов, взятых в стехиометрическом соотношении, тщательно растирали (при растирании ощущался запах NH_3 , т.е. взаимодействие осуществляется уже при комнатной температуре), помещали в закрытый лабиринтный платиновый тигель и выдерживали в муфеле при 600°C в течение 1 ч. После повторного истирания полученный спек выдерживали в муфеле еще полчаса. По данным ИК спектроскопии образец не содержал в своем составе гидроксид-ионов в пределах чувствительности метода (10^{-4} ат.).

Регистрацию спектров ЯМР проводили на мультиядерном спектрометре Bruker AV-300 на ларморовых частотах $v_L = 282,404$ МГц (для ядер ^{19}F) и $v_L = 300,13$ МГц (для ядер ^1H) и Bruker SWL 3-100 ($v_L = 84,66$ МГц) при температурах 150—350 К. Точность установки температуры составляла ± 3 К. Величины химических сдвигов $\delta_{[\text{F}^-]}$ измеряли относительно условного значения химического сдвига идеализированного иона фтора $\delta_{\text{F}2}([\text{F}^-]) = -713$ м.д. относительно газообразного F_2 [22]. В качестве внешнего эталона использовали жидкий фторбензол C_6F_6 , химический сдвиг которого составляет $\delta_{\text{F}2}(\text{C}_6\text{F}_6) = -589$ м.д. относительно газообразного F_2 [22]. Таким образом, химический сдвиг внешнего эталона $\delta_{[\text{F}^-]}(\text{C}_6\text{F}_6)$, отнесенный к условному значению химического сдвига идеализированного иона фтора, равен

$$\delta_{[\text{F}^-]}(\text{C}_6\text{F}_6) = \delta_{\text{F}2}(\text{C}_6\text{F}_6) - \delta([\text{F}^-]) = +124 \text{ м.д.},$$

причем знак (+) указывает на смещение сигнала вторичного эталона C_6F_6 в сторону более слабых магнитных полей по отношению к положению условного стандарта $[\text{F}^-]$.

Для целей сравнения проводили также измерения стандартных реагентов — гексафтоританатов аммония и щелочных металлов, неоднократно изучавшихся ранее [22, 23].

3. РЕЗУЛЬТАТЫ

Спектры ЯМР ^{19}F изучаемых комплексов представлены на рис. 1. На их основе были рассчитаны главные компоненты $\delta_{11}([\text{F}^-])$, $\delta_{22}([\text{F}^-])$ и $\delta_{33}([\text{F}^-])$ тензоров химических сдвигов ЯМР ^{19}F с использованием общепринятых методик [22—24]. Компоненты тензоров $\delta_{33}([\text{F}^-])$ относятся к значениям химических сдвигов ЯМР при ориентации магнитного поля параллельно направлениям связей F—Ti, тогда как две другие компоненты $\delta_{11}([\text{F}^-])$ и $\delta_{22}([\text{F}^-])$ относятся к значениям химических сдвигов ЯМР при ориентации магнитного поля перпендикулярно направлениям связей F—Ti.

В табл. 2 и 3 представлена сводка экспериментальных данных определения главных компонент тензоров химических сдвигов ЯМР ^{19}F комплексных ионов $[\text{TiOF}_5]^{3-}$ в низкотемпературных модификациях $(\text{NH}_4)_3\text{TiOF}_5$ и $\text{Rb}_2\text{KTiOF}_5$. Аналогичные данные для ионов $[\text{TiF}_6]^{2-}$ в гексафтоританатах щелочных металлов и аммония представлены в табл. 4.

Ключевым элементом в расшифровке полученных спектров ЯМР ^{19}F комплексов $\text{Rb}_2\text{KTiOF}_5$ и $(\text{NH}_4)_3\text{TiOF}_5$ является высокое разрешение твердотельных спектров ЯМР ^{19}F , полученных при $T \approx 300$ К (см. рис. 1). В обоих случаях эти спектры представлены двумя узкими линиями, из которых более интенсивная характеризуется среднеквадратичной шириной $\sim 0,6 \text{ Гц}^2$, и менее интенсивная $\sim 0,2 \text{ Гц}^2$. Эти линии относятся к *цис*- и *транс*-положениям атомов фтора в октаэдрических комплексах $[\text{TiOF}_5]^{3-}$, поскольку соотношение их интенсивностей 4:(0,8±0,1) близко к соотношению числа атомов фтора в *цис*- и *транс*-положениях (4:1). Первое значение соответствует изотропной реориентации комплексов $[\text{TiOF}_5]^{3-}$ в фиксированных узлах кристаллической решетки [22]. В то же время уменьшенное в 3 раза значение среднеквадратичной ширины менее интенсивной линии свидетельствует в пользу модели прыжковой диффузии атомов

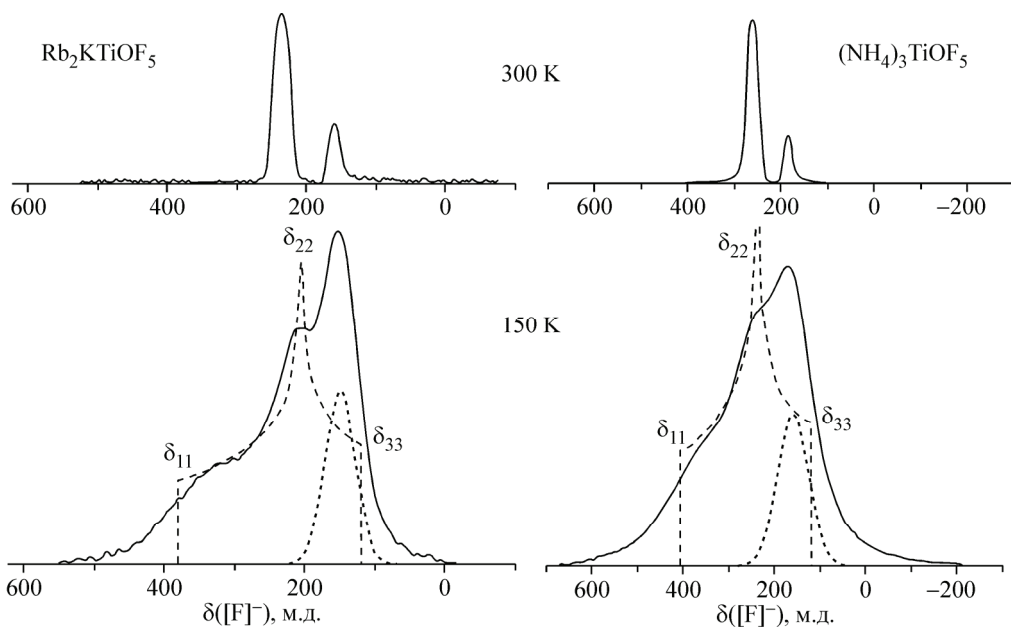


Рис. 1. Спектры ЯМР ^{19}F титанилпентафторидов.

Пунктир — спектральные полосы *цис*-атомов фтора (с учетом только анизотропии ХС); точечные линии — расчетная форма спектральных полос ЯМР ^{19}F атомов в *транс*-положениях (за счет диполь-дипольного взаимодействия и без учета анизотропии ХС)

фтора в *транс*-положениях. Поскольку механизм прыжковой диффузии связан с наличием вакансий, можно предположить, что в структуре изучаемых соединений комплексные анионы $[\text{TiOF}_5]^{3-}$ перемежаются некоторым числом "дефектных" анионов $[\text{TiOF}_4]^{2-}$, в которых *транс*-положения атомов фтора являются вакантными.

Расстояние между двумя линиями высокотемпературного спектра ЯМР составляет $\Delta\delta = \sim 80$ м.д. (5,6 Гц — в магнитном поле $B_0 = 7$ Т), что достаточно для достижения высокого разрешения двух линий. Исходя из отношения интенсивностей линий ЯМР ^{19}F *цис*- и *транс*-положений атомов фтора $4:(0,8 \pm 0,1)$ можно полагать, что в составе изученных образцов Rb_2K - и NH_4 -фортитанилов примерно 10 % анионов замещены "дефектными" тетрафортитанилонами $[\text{TiOF}_4]^{2-}$ в полном согласии с данными анализа среднеквадратичной ширины компонент спектров ЯМР при 300 К.

Значения химических сдвигов двух линий высокотемпературных спектров ЯМР соответствуют изотропным средним тензорам химических сдвигов ЯМР ^{19}F в *цис*- и *транс*-положениях, приведенных в последних колонках табл. 2, 3:

$$\delta_{iso}([F]^-) = 1/3[\delta_{11}([F]^-) + \delta_{22}([F]^-) + \delta_{33}([F]^-)]. \quad (1)$$

Для сигнала ЯМР ^{19}F атомов в *транс*-положениях было установлено, что значение химического сдвига данной линии не изменяется при понижении температуры до 150 К. Поскольку атомы фтора в *транс*-положениях характеризуются аксиальной симметрией (C_4), то для них должно выполняться равенство $\delta_{11}([F]^-) = \delta_{22}([F]^-) = \delta_{\perp}([F]^-)$. В данных условиях отсутствие изменения химических сдвигов при понижении температуры является свидетельством малости анизотропии химического сдвига ЯМР ^{19}F атомов в *транс*-положениях, когда выполняется приблизительное равенство трех компонент $\delta_{11}([F]^-) \approx \delta_{22}([F]^-) \approx \delta_{33}([F]^-)$.

Для атомов в *цис*-положениях при низких температурах спектр ЯМР ^{19}F характеризуется тонкой структурой, позволяющей непосредственно определить значения двух компонент $\delta_{11}([F]^-)$ и $\delta_{22}([F]^-)$, соответствующих ориентации магнитного поля перпендикулярно связи F—Ti. Значение третьей, продольной по отношению к связи F—Ti компоненты $\delta_{33}([F]^-)$, рассчитывали с помощью формулы (1) с использованием экспериментальных значений $\delta_{iso}([F]^-)$, $\delta_{11}([F]^-)$

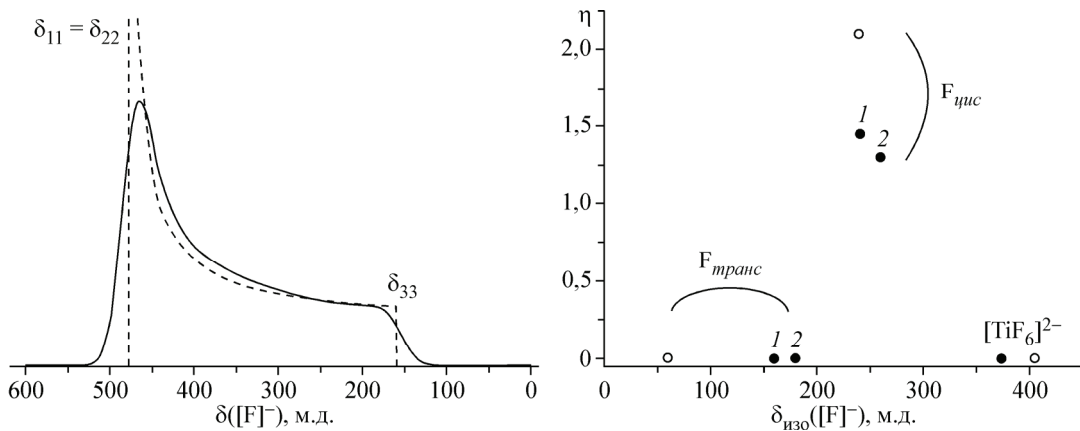


Рис. 2. Слева: спектр ЯМР ^{19}F гексафортитаната рубидия Rb_2TiF_6 ; справа: корреляционная диаграмма η - $\delta_{\text{изо}}([\text{F}^-])$ для пентафортитанилов рубидия—калия (1) и аммония (2) в сопоставлении с данными для гексафортитаната рубидия: ● — эксперимент; ○ — квантово-химический расчет для свободных ионов

и $\delta_{22}([\text{F}^-])$. Неравенство двух компонент $\delta_{11}([\text{F}^-]) \neq \delta_{22}([\text{F}^-])$ свидетельствует о неаксиальности химических связей F—Ti, степень которой описывается параметром асимметрии тензора химического сдвига η :

$$\eta = [\delta_{11}([\text{F}^-]) - \delta_{22}([\text{F}^-])] / [\delta_{\text{изо}}([\text{F}^-]) - \delta_{33}([\text{F}^-])]. \quad (2)$$

При данном определении максимальная степень неаксиальности, или асимметрии, химического сдвига ЯМР соответствует воображаемой химической связи F—Ti, осуществляющейся только за счет π -перекрывания одной $2p$ -орбитали атома F с одной из d -орбиталей атома Ti. В этом случае $\delta_{22}([\text{F}^-]) = \delta_{33}([\text{F}^-])$ и, следовательно, $\eta = 3$. При комбинации одиночной π -связи с σ -связью F—Ti значение $\delta_{\text{изо}}([\text{F}^-])$ увеличивается (примерно двукратно), а параметр асимметрии понижается до значения $\eta = 1$. Для тройной связи F—Ti (при комбинации одной σ - и пары π -связей) значение $\delta_{\text{изо}}([\text{F}^-])$ увеличивается (примерно на $\sim 50\%$), а параметр асимметрии понижается до значения $\eta = 0$.

На рис. 2 представлена корреляционная диаграмма для соотношения между параметром асимметрии тензора химического сдвига η и значениями $\delta_{\text{изо}}([\text{F}^-])$ для пентафортитанилов рубидия калия и аммония. Для сопоставления на том же рисунке приведены спектр и параметры ЯМР ^{19}F гексафортитаната рубидия. Можно отметить, что параметры асимметрии тензоров химических сдвигов пентафортитанильных комплексов $[\text{TiOF}_5]^{3-}$ и гексафортитанат-анионов $[\text{TiF}_6]^{2-}$ принципиально различны, а именно, в последнем случае связи Ti—F характеризуются аксиальной симметрией, тогда как в комплексах $[\text{TiOF}_5]^{3-}$ связи Ti—F осуществляются за счет π -перекрывания только одной $2p$ -орбитали атомов F_{quc} с одной из вакантных d -орбиталей атома Ti. Подобное строение молекулярных орбиталей комплекса $[\text{TiOF}_5]^{3-}$ может быть следствием образования сильных внутримолекулярных π -связей ионов титанила, образованных комбинациями $3d_{xz}$ - и $3d_{yz}$ -орбиталей атомов Ti с $2p_x$ - и $2p_y$ -орбиталями атомов кислорода. В этом случае для образования других π -связей в анионе $[\text{TiOF}_5]^{3-}$ может быть использована только одна вакантная $3d_{xy}$ -орбиталь иона Ti^{4+} .

4. АНАЛИЗ И ОБСУЖДЕНИЕ ПОЛУЧЕННЫХ ДАННЫХ

Механизм нарушения осесимметричности связей Ti— F_{quc} в титанилпентафторидах может быть независимо выяснен из анализа карт функции электронной локализации ELF [25], рассчитанных для свободных анионов $[\text{TiOF}_5]^{3-}$, $[\text{TiOF}_4]^{2-}$, $[\text{TiF}_6]^{2-}$ и катиона титанила $[\text{TiO}]^{2+}$ с использованием функционалов и атомных базисов, указанных в разделе 1 (рис. 3).

Можно отметить, что распределение функции электронной локализации (ELF) в области связи Ti—O в этих анионах соответствует высокой степени делокализации электронной плот-

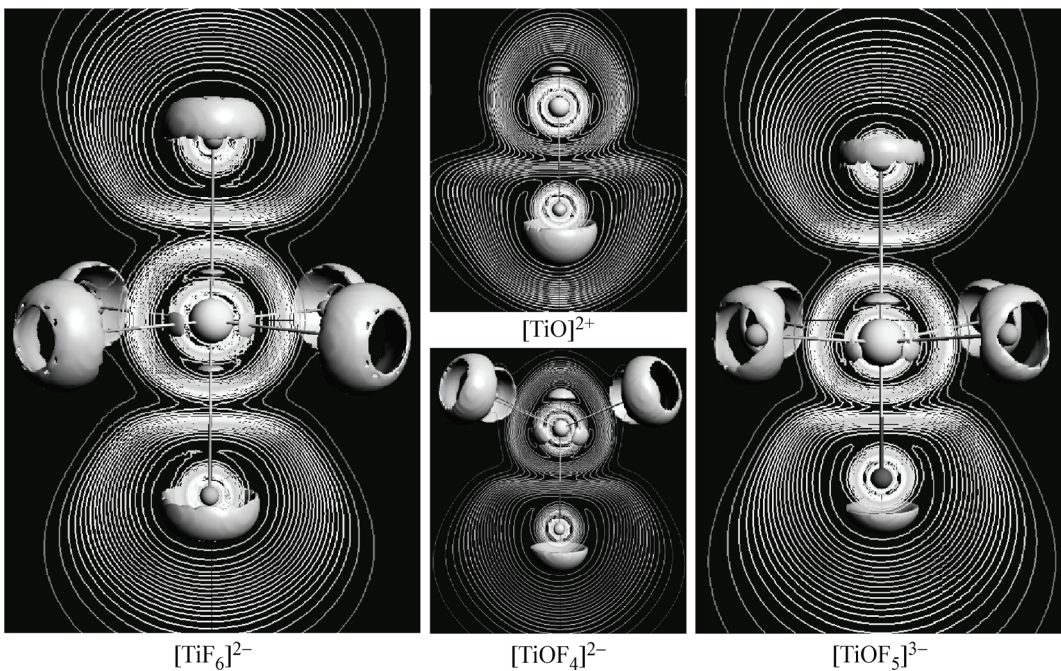


Рис. 3. Карты функции электронной локализации (ELF) для трех степеней взаимодействия титанил-иона с фтором. Изолинии со значениями ELF от 1 до $\sim 0,75$ (в программе ADF — голубой цвет) соответствуют максимальному уровню электронной локализации, или электронным парам. Изолинии со значениями ELF от 0 до $\sim 0,25$ (в программе ADF — красные) соответствуют областям с делокализованными электронами. Изоповерхности (рассчитанные при значении ELF = 0,855) показывают локализацию неподеленных электронных пар центральных ионов и лигандов

ности, обусловленной формированием связывающих σ - и π -орбиталей атомов кислорода с атомами титана. При этом σ -орбитали образованы комбинацией гибридной $3s$ — $3d_{z^2}$ -орбитали центрального атома Ti^{4+} с $2p_z$ -орбиталами O^{2-} , и две π -орбитали образованы комбинацией $3d_{xz}$ - и $3d_{yz}$ -орбиталей центрального иона Ti^{4+} с $2p_x$ - и $2p_y$ -орбиталами O^{2-} . Связь Ti — O носит донорно-акцепторный характер, в соответствии с которым центральный ион Ti^{4+} предоставляет вакантные орбитали, заселяемые электронными парами ионов O^{2-} . Подобный характер электронного распределения остается неизменным при переходе от комплексных анионов $[\text{TiOF}_5]^{3-}$ к анионам $[\text{TiOF}_4]^{2-}$ и к свободным титанил-ионам $[\text{TiO}]^{2+}$ (см. рис. 3).

Для подобного распределения электронной плотности связей Ti — O остается вакантной орбиталь $3d_{xy}$, которая может быть использована для формирования только одной π -связи Ti — F_{quc} , локализованной в плоскости (xy) и "резонирующей" между четырьмя лигандами F_{quc} . При этом не остается вакантных $3d$ -орбиталей, которые могли бы быть использованы для формирования донорно-акцепторных связей Ti — F_{trans} с использованием электронных пар лигандов F_{trans} . Таким обстоятельством объясняются относительно небольшие расчетные значения $\delta_{\text{изо}}(\text{F}_{\text{trans}})$, а трехкратное превышение экспериментальных значений $\delta_{\text{изо}}(\text{F}_{\text{trans}})$ по отношению к расчетным (см. табл. 3) объясняется вкладами внешнесферных перекрываний F — NH_4 , F — Rb , F — K в кристаллической решетке.

В заключение можно отметить существенное различие связей титанил-иона в пентафторокомплексах и ионов титана в гексафторокомплексах (см. рис. 3). В последнем случае аксиальная симметрия связей Ti — F и нулевое значение параметра асимметрии тензора химического сдвига объясняется резонансом π -орбиталей, образованных комбинациями вакантных орбиталей $3d_{xy}$, $3d_{xz}$, $3d_{yz}$ центрального атома Ti с $2p_\pi$ -орбиталами фтор-лигандов.

ВЫВОДЫ

Методами ЯМР ^{19}F и теории функционала плотности DFT изучено электронное строение и химическая связь ионов титанила в пентафортитанильных комплексах $(\text{NH}_4)_3\text{TiOF}_5$ и $\text{Rb}_2\text{KTiOF}_5$. Показано, что при нормальных температурах имеет место ориентационная разупорядоченность октаэдрических анионов $[\text{TiOF}_5]^{3-}$, причем атомы фтора устойчиво занимают *цикло*- и *транс*-положения по отношению к иону O^{2-} . *транс*-Положение в обоих комплексах застается не полностью, отношение заселенностей не превышает ~4:0,9.

Установлено, что при понижении температуры до 150 К порядок величины анизотропии ХС резонансной линии *транс*-положения ^{19}F атомов фтора в *транс*-положениях меньше величины диполь-дипольного уширения, тогда как линия от атомов фтора в *цикло*-положениях трансформируется в асимметричную широкую линию, характеризуемую трехосной анизотропией тензора химического сдвига.

Показано, что экспериментальные значения анизотропии тензора химического сдвига ЯМР ^{19}F атомов $\text{F}_{\text{цикло}}$ согласуются с рассчитанными параметрами в рамках теории DFT, а найденная анизотропия соответствует нарушению осесимметричности связей $\text{Ti}-\text{F}_{\text{цикло}}$, обусловленному сильной делокализацией электронной плотности связей $\text{Ti}-\text{O}$ иона титанила.

СПИСОК ЛИТЕРАТУРЫ

1. Сорокина Н.И., Воронкова В.И. // Кристаллография. – 2007. – **52**, № 1. – С. 82 – 95.
2. Сорокина Н.И. (по специальному 01.04.18). Закономерные связи состав—структура—свойства в кристаллах семейства титанил-фосфата калия, установленные методами прецизионного рентгеноструктурного анализа. Дис. ... д-ра хим. наук. – М., 2006.
3. Стефанович С.Ю., Мосунов А.В. // Изв. РАН. Сер. физ. – 2000. – **64**, № 6. – С. 1163 – 1172.
4. Withers R.L., Brink F.J., Liu Y. et al. // Polyhedron. – 2007. – **26**. – P. 290 – 299.
5. Maggard P.A., Nault T.S., Stern C.L. et al. // J. Sol. St. Chem. – 2003. – **175**. – P. 27 – 33.
6. Heier K.R., Norquist A.J., Halasyamani P.S. et al. // Inorg. Chem. – 1999. – **38**. – P. 762 – 767.
7. Flerov I.N., Gorev M.V., Aleksandrov K.S. et al. // Mater. Sci. Eng. – 1998. – **R24**. – P. 81 – 151.
8. Флеров И.Н., Горев М.В., Фокина В.Д. и др. // Физ. тв. тела. – 2004. – **46**, № 5. – С. 888 – 894.
9. Greenwood A., Norman N., Earnshaw A. Chemistry of the Elements (2nd ed.). – Oxford: Butterworth-Heinemann, 1997.
10. Udoenko A.A., Laptash N.M., Maslennikova I.G. // J. Fluorine Chem. – 2003. – **124**. – P. 5 – 15.
11. Фокина В.Д., Флеров И.Н., Молохеев М.С. и др. // Физ. тв. тела. – 2008. – **50**, № 11. – С. 2084 – 2092.
12. Войт Е.И., Давыдов Б.А., Машковский А.А. и др. // Журн. структур. химии. – 2008. – **49**. – С. 19 – 26.
13. Te Velde G., Bickelhaupt F.M., Baerends E.J. et al. // J. Comp. Chem. – 2001. – **22**, N 9. – P. 931 – 967.
14. Amsterdam Density Functional (ADF) program, Release 2008.02; Vrije Universiteit: Amsterdam, The Netherlands, 2006.
15. Vosko S.H., Wilk L., Nusair M. // Canad. J. Phys. – 1980. – **58**. – P. 1200 – 1211.
16. Becke A.D. // Phys. Rev. A. – 1988. – **38**. – P. 3098 – 3100.
17. Perdew J.P. // Phys. Rev. B. – 1986. – **33**, N 12. – P. 8822 – 8824.
18. Schreckenbach G., Ziegler T. // J. Phys. Chem. – 1995. – **99**. – P. 606 – 611.
19. Schreckenbach, G. Ziegler T. // Int. J. Quantum Chem. – 1997. – **61**. – P. 899 – 918.
20. Wolff S.K., Ziegler T. // J. Chem. Phys. – 1998. – **109**. – P. 895 – 905.
21. Laptash N.M., Maslennikova I.G., Kaidalova T.A. // J. Fluorine Chem. – 1999. – **99**. – P. 133 – 137.
22. Габуда С.П., Гагаринский Ю.В., Полищук С.А. ЯМР в неорганических фторидах. – М.: Атомиздат, 1978.
23. Зеер Э.П., Зобов В.Е., Фалалеев О.В. Новые эффекты в ЯМР поликристаллов. – Новосибирск: Наука, 1991.
24. Хаберлен У., Меринг М. Спектроскопия ЯМР высокого разрешения в твердых телах. – М.: Мир, 1982.
25. Silvi B., Savin A. // Nature. – 1994. – **371**. – P. 683 – 686.